

I-1 衝突噴流による境界層について

山口大学 斎藤 隆
○ 西日本工業大学 赤司 信義

衝突噴流流が水平面に衝突した後の流れは非常に複雑で、多くの不明点が残されている。
本文は噴流が衝突した後の流れの特性を規定する諸量について実験的に検討し、その結果にもとづいて、壁面せん断力の評価を試みたものである。

実験に用いた水槽は幅 20cm、深さ 1m、長さ 2m の両面有機ガラス張りの鋼枠製水槽である。衝突壁面は 50%粒径が 0.1, 0.2, 0.4mm のほぼ一様な砂をアクリル板に張りつけたものである。流速の測定には先端断面が 0.2mm × 5mm の偏平断面をもつピトーメータを用いて行った。

主流部流速分布は自由噴流の流速分布と同一の表現で表わす事が可能である。境界層流速分布の測定結果を Fig-1 に示す。測定実験の散乱が大きく流速距離での差違に系統的なものを見出さず事は困難であったが、壁面相度が大きい程壁面流速が小さくなる、という事が認められる。Fig-2 は境界層厚さを示したもので、壁面相度が大きい程境界層の発達が著しくなる。Fig-3 は主流部流れの中を示したもので、捕食の散乱が大きいが噴出孔より衝突点までの流速距離によく差違が存在し他の要素について判別する事は出来ない。衝突後流れの最大流速の変化の状態を示したもののが、Fig-4, Fig-5 で、加速、一様、減速の三領域が認められる。以上の結果を実験式として評価すると次の通りである。

$$(1) \frac{\delta_B}{B_0} = \exp\left\{2.303\left(0.032\frac{R}{B_0} - 1.41\right)\right\} \left(\frac{d}{B_0}\right)^{0.2}$$

$$X \left\{ \frac{X}{B_0} + 13.84 - 8.64 \log\left(\frac{R}{B_0}\right) \right\}$$

$$(2) \frac{\delta_B}{B_0} = 0.127 \left(\frac{X}{B_0} + 0.33 \frac{R}{B_0} + 2.31 \right)$$

$$(3) \frac{U_i}{U_0} = \sqrt{7.19 / \left(\frac{R}{B_0} + 3.19 \right)}$$

$$(4) \frac{U_m}{U_0} = 1.4 \alpha \frac{X}{R} + 0.7 \quad \dots (0 < \alpha \frac{X}{R} < 0.214)$$

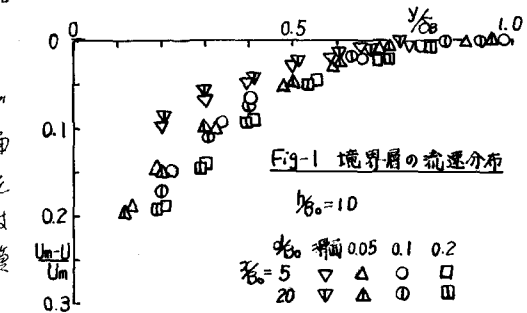


Fig-1 境界層の流速分布
 $h_B_0 = 1.0$

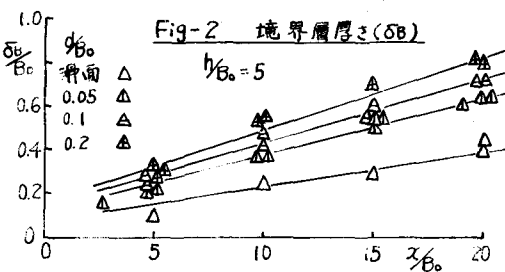


Fig-2 境界層厚さ (δ_B)

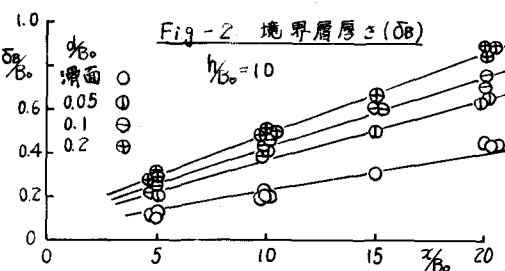


Fig-2 境界層厚さ (δ_B)

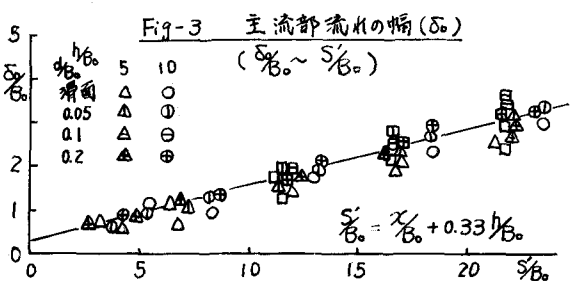


Fig-3 主流部流れの幅 (S_B_0)
($X_B_0 \sim S_B_0$)

$$(5) \frac{U_m}{U_j} = \sqrt{0.90 / (\alpha \frac{x}{h} + 0.4)} \quad \cdots (\alpha \frac{x}{h} > 0.5)$$

$$(6) \frac{U_b}{U_m} = 0.71 - 0.06 \log \frac{\alpha}{B_0}$$

境界層内せん断力は漏動拡散係数を用いると

$$(7) \frac{\tau}{\rho} = \varepsilon \frac{du}{dy}$$

である。壁面せん断力をでて ω とし、せん断力分布および漏動拡散係数を次式で与える。

$$(8) \frac{\tau}{\rho} = \frac{C_w}{\rho} \left(1 - \frac{y}{B_0}\right), \quad \frac{\varepsilon}{U_k B_0} = \text{CONST.}$$

この時境界層内流速分布は

$$(9) \frac{U_m - U}{U_k} = \frac{U_k B_0}{2\varepsilon} \left(1 - \frac{y}{B_0}\right)^2$$

Namaによると、平板境界層においては

$$\frac{U_k B_0}{2\varepsilon} = 9.6$$

と与えられる。また(8)より壁面抵抗則は、

$$(10) \frac{U_m}{U_k} = \frac{U_k B_0}{2\varepsilon} \left(1 - \frac{U_b}{U_m}\right)^{-1}$$

と壁面流速(U_b)によって規定される。

最大流速が減速する領域で、運動量の定理

$$(11) \frac{\rho c_{x0}}{\rho} + \frac{d}{dx} \left\{ \int_0^{B_0} U^2 dy + \int_{B_0}^\infty U^2 dy \right\} = 0$$

に上述の実験結果を導入して U_m/U_k を求めて図示したものが Fig-4 である。

最大流速の加速流領域における境界層厚さを無視し、一様なびく速度領域の境界において境界層厚さおよび U_m/U_k 、 B_0/h が連続する条件のもとで、一様流領域において U_m/U_k を求めたのが、Fig-7 である。

試みに境界層内流速分布が対数則に従うものと

して、相当粗度を求め

ると、流過距離によ

り変化させなければ、

境界層厚さ及び最大流速

の変化を一致させる事

は出来なかつた。

